



eDNA 분석을 위한 황해 주요 수산자원의 CO1 염기서열 분석

사공현¹ · 박주면² · 이연정¹ · 양원석¹ · 이수정³ · 김맹진⁴ · 최동한^{1*}

¹한국해양과학기술원 기후대응·생태연구부
(49111) 부산광역시 영도구 해양로 385

²한국해양과학기술원 독도전문연구센터
(36315) 울진군 죽변면 해양과학길 48

³국립수산과학원 서해수산연구소 기후환경자원과
(22383) 인천광역시 중구 선녀바위로 14

⁴국립수산과학원 동해수산연구소 기후환경자원과
(25435) 강릉시 연곡면 동덕리 30-6

Sequence Analysis of CO1 Genes of Fishery Resources from the Yellow Sea

Hyun Sagong¹, Joo Myun Park², Yeonjung Lee¹, Wonseok Yang¹, Soo Jeong Lee³,
Maeng Jin Kim⁴, and Dong Han Choi^{1*}

¹*Ocean Climate Response and Ecosystem Research Department,
Korea Institute of Ocean Science & Technology, Busan 49111, Korea*

²*Dokdo Research Center, Korea Institute of Ocean Science & Technology, Uljin 36315, Korea*

³*Fisheries Resources and Environment Research Division, West Sea Fisheries Research Institute,
National Institute of Fisheries Science, Incheon 22383, Korea*

⁴*Fisheries Resources and Environment Research Division, East Sea Fisheries Research Institute,
National Institute of Fisheries Science, Gangneung 25435, Korea*

Abstract : Ocean change due to anthropogenic activities and climate change are causing a decline in cold-water fish species and emergence of subtropical fish species in Korean waters. Therefore, environmental change-dependent time-space distribution of fishery resources in Korea, which has a big fisheries industry, needs to be investigated. Environmental DNA (eDNA) metabarcoding is an environmentally noninvasive method for understanding the spatiotemporal distribution of marine organisms at high spatial resolution. The highly variable cytochrome oxidase-1 (CO1) gene is used in eDNA studies for species identification across diverse taxa. However, it exhibits genetic differences depending on geographical distribution. For improving the accuracy of eDNA research, the CO1 database should be expanded by incorporating sequence information for individuals inhabiting the Korean seas. Here, 106 biological samples from the Yellow Sea were identified morphologically and their nucleotide sequences were compared with those in the GenBank. Most sequences were 100% identical with those in the GenBank. In most samples, the morphological and molecular identification results were consistent, indicating the utility of CO1. However, some nucleotide sequences differed from those in the database. Amino acid sequences translated from nucleotide sequences with less than 97% similarity showed high similarity to the amino acid database, indicating intraspecies variation due to “silent

mutations". These results highlight the need for a sequence database of fishery resources in Korean coastal waters to improve the reliability of eDNA studies using CO1. However, because of the same CO1 sequences in several species, genetic markers need to be developed and the database should be supplemented with more sequences for reliable high-resolution eDNA studies.

Key words : fishery resources, Yellow Sea, CO1 sequence, eDNA

1. 서 론

현재 인간 활동이나 기후 변화에 의한 해양 환경 변화는 해양 생태계에 영향을 주고 있으며, 이는 우리나라 해역에서도 어획량의 변동(냉수 어종 감소, 아열대성 어류의 출현 등)으로 영향이 나타나고 있다(Lee and Jeon 2005; 김종규 2022). 삼면이 바다로 되어 있는 우리나라 특성상 수산업이 발달하였고 수산물의 소비량이 많다. 이러한 점에서 해양 환경 변화가 더욱 가속화되고 있는 시점에 수산자원의 관리를 위해서 시·공간 분포 특성에 대한 과학조사의 필요성이 커지고 있다. 수산자원의 시·공간적 분포를 보고한 이전 연구들은 주로 저인망과 저층 트롤 같은 어획을 통한 방법과 잠수를 통한 시각적 조사를 이용하였다(Chen et al. 2018; Costello et al. 2017; Farrag et al. 2019). 이러한 조사 방법들은 채집에 많은 시간과 노동력이 필요하며 포획된 생물의 종을 동정하는 것에 높은 전문성이 요구되어, 넓은 범위에서 연구를 수행하기에는 어려운 단점이 있다. 이러한 기존 조사방법의 단점을 보완하기 위해 환경유전자(environmental DNA, eDNA)를 통한 연구가 대두되고 있다(Taberlet et al. 2018). 환경유전자는 생물로부터 환경으로 떨어져 나온 피부, 비늘, 털과 분비물 등에 포함된 유전물질을 말한다. 환경유전자 연구를 위한 시료(해수, 저질 등) 채집은 환경 비 파괴적인 방법(채수, 그랩 등)을 통해 이루어지며 비교적 적은 시간과 노동력이 요구된다. 또한 메타바코딩 분석을 통해 대량 시료의 분석이 가능하고, 높은 해상도의 해양생물 정보를 제공할 수 있어 수산자원의 시·공간 분포 특성 및 자원량 추정 연구에 효과적인 방법으로 알려져 있다(Ficetola et al. 2008; Stat et al. 2017; Rourke et al. 2022). 이에 따라 현재 우리나라 담수 및 해양의 수생태계 연구에도 환경유전자 메타바코딩 분석법이 활용된 바 있다(Alam et al. 2020; Kim et al. 2022).

환경유전자 메타바코딩 분석에는 연구목적에 따라 18S rDNA (Jo et al. 2019), 16S rDNA (Bessey et al. 2020) 그리고 23S rDNA (Schulte et al. 2024) 등 다양한 DNA 마커가 사용되고 있으며, 그 중 미토콘드리아 DNA가 많은 연구들에서 선호되어진다. 미토콘드리아는 대부분 진핵생물에서 발견되는데 돌연변이 발생 확률이 높고

모계 유전으로 인해 유전자 변이가 수직적으로 유전되어 유전학, 계통학 그리고 생물종 분류 등에 유용하게 사용되고 있으며, 그 중 미토콘드리아 cytochrome oxidase-1 (CO1) 유전자는 특히 동물군에서 높은 변이를 보여 다양한 생물군의 종 동정에 유리하기 때문에 메타바코딩 분석에 유용한 DNA 마커로 빈번하게 활용되고 있다 (Colmenares et al. 2023; Karim et al. 2018; Mychek-Londer et al. 2020).

메타바코딩 분석을 위해서는 다양한 수산자원에 대한 각 마커의 유전자 정보가 요구된다. 물론, GenBank, European Nucleotide Archive (ENA), DNA Data Bank of Japan (DDBJ) 등 공공유전자 정보은행에서 많은 관련 정보를 얻을 수는 있으나, 다른 지역에 분포하는 개체군 간의 유전적 변이의 존재(Narváez-Barandica et al. 2023; Villamor et al. 2014)를 고려하면, 특정 해역의 생물 유래 유전자 분석을 통한 데이터베이스의 확충은 환경유전자를 이용한 수산자원 분포 연구에 중요한 선결 과제로 평가된다. 본 연구에서는 환경유전자를 이용한 황해 수산자원 분포 연구를 위한 데이터베이스 구축의 일환으로 황해에서 채집된 수산자원의 CO1 유전자의 염기서열을 분석하였다.

2. 재료 및 방법

생물 시료의 채집

생물 시료는 2021년과 2022년에 걸쳐 황해(보령, W153, W163, W173)에서 트롤 또는 안강망을 통해 채집되었다(Fig 1). 106개의 생물 시료는 형태적 동정 이후 조직을 분리해 냉동하였고 이후 조직 시료를 동결 건조하여 보관하였다. 형태 분류는 Nakabo (2013)에 따라 수행하였다.

DNA 추출 및 PCR

동결 건조된 조직 시료 10 mg에서 DNeasy® Blood and Tissue Kits (QIAGEN, Hilden, Germany)를 사용해 제조사에서 제공한 방법에 따라 DNA를 추출하였다. 중합효소 연쇄반응(Polymerase Chain Reaction, PCR)은 3개의 프라이머 세트(Table 1)를 사용하여 실행하였다. 먼저

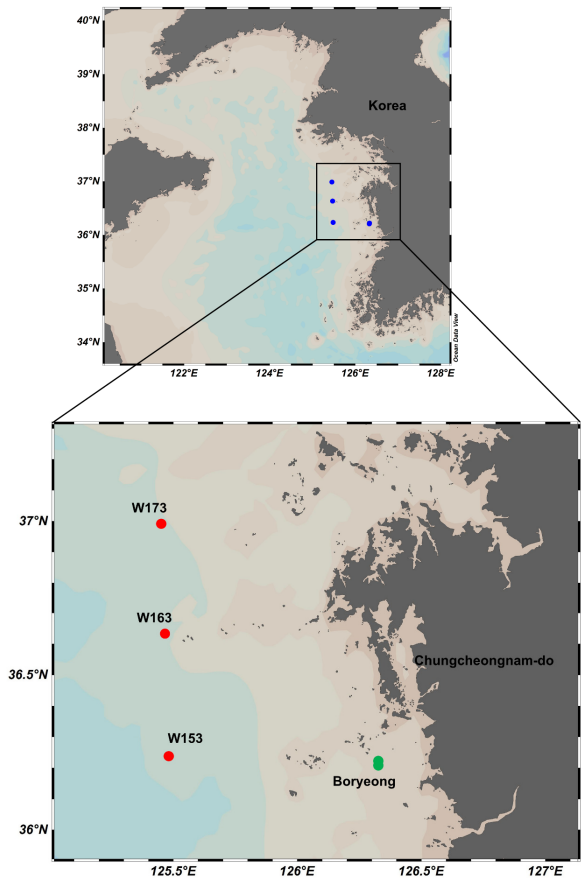


Fig. 1. Map showing the sampling site in Yellow Sea. Red and green dots represent the sites from where samples were collected using a trawl and stow net, respectively

‘Sauron-S878 forward’ - ‘jgHCO2198 reverse’ 프라이머 세트(Sauron 세트)를 사용하여 PCR을 진행하였으며, 원하는 PCR 산물이 얻어지지 않는 시료는 ‘LCO1490 forward’ - ‘HCO2198 reverse’ 프라이머 세트(LCO 세트) 또는 어류에 대해서 ‘FishBCL forward’ - ‘FishBCH reverse’ 프라이머 세트(BCL 세트)를 사용하여 PCR 진행하였다. PCR 반응액은 10X Ex Taq buffer 5 μ l, 25 mM dNTP 4 μ l, 5~20 pmol 프라이머세트 각 2 μ l, 20 μ g/ μ l BSA 0.4 μ l, 25mM MgCl₂ 0.4 μ l, Ex Taq (TaKaRa, Japan) 0.2 μ l, DNA 1 μ l와 멸균한 증류수(최종 부피 50 μ l)를 넣어 만들었다. PCR은 각 프라이머 세트에 대해 Table 1에 제시된 조건에서 진행하였다. 5분. PCR 후 증폭 밴드를 전기영동하여 확인하였으며, 추가적으로 AccuPrep® PCR/ Gel Purification Kit (Bionner, Korea)를 이용해 PCR 정제 또는 gel 정제를 하였다. 정제된 PCR 산물은 Macrogen (서울)에서 Sanger sequencing 방법으로 염기서열을 분석하였다. 최종적으로 얻어진 106개 시료의 염기서열은 GenBank에 등록(accession no. PP897035-PP897140)하였다.

염기서열을 이용한 종 분석

얻어진 염기서열은 GenBank의 BLASTn 프로그램 (Altschul et al. 1997)을 통해 가장 근접한 종을 결정하였다. 99% 이상의 DNA 염기서열 유사도 수준에서 종 동정을 하였으며 BLASTn에서 가장 높은 유사도를 보인 종과 형태 분류의 종이 일치하면, 해당 종으로 동정하였다. 다수의 종이 가장 높은 유사도를 보였을 때, 형태 동정된 종으로 분류하였다. 99% 이하의 유사도를 보인 염

Table 1. Primer sets and PCR conditions used in the study

| Set name | Primer | Sequence (5'-3') | References | PCR conditions |
|----------|-------------|------------------------------------|---------------------------------|----------------|
| Sauron | Sauron-S878 | GGD RCW GGW TGA ACW GTW TAY CCN CC | Rennstam Rubbmark et al. (2018) | 94°C 5min |
| | | | | 94°C 20sec |
| | jgHCO2198 | TAI ACY TCI GGR TGI CCR AAR AAY CA | Geller et al. (2013) | 51°C 30sec 29x |
| | | | | 72°C 1min |
| LCO | LCO1490 | GGT CAA CAA ATC ATA AAG ATA TTG G | Folmer et al. (1994) | 72°C 3min |
| | | | | 94°C 5min |
| | HCO2198 | TAA ACT TCA GGG TGA CCA AAA AAT CA | | 94°C 30sec |
| | | | | 42°C 30sec 30x |
| BCL | Fish-BCL | TCA ACY AAT CAY AAA GAT ATY GGC AC | Baldwin et al. (2009) | 72°C 1min |
| | | | | 72°C 5min |
| | Fish-BCH | ACT TCY GGG TGR CCR AAR AAT CA | | 94°C 5min |
| | | | | 94°C 30sec |
| | | 50°C 30sec 33x | | |
| | | | 72°C 1min | |
| | | | 72°C 5min | |

기서열에 대해서는 번역된 아미노산 서열을 BLASTp 프로그램(Altschul et al. 1997)을 이용하여 비교하였다.

3. 결과 및 토의

87종(척삭동물-61, 절지동물-20, 연체동물-6)에 속하는 106개 시료의 형태 및 CO1 염기서열을 분석하였다 (Table 2). 프라이머로 Sauron 세트를 이용한 PCR 증폭

으로 86개의 시료에 대한 CO1 염기서열(313 bps)을 얻었으며, 이 프라이머 세트로 증폭이 되지 않은 나머지 시료는 LCO 세트로 14개 시료(658 bps)와 BCL 세트로 6개 시료(655 bps)에서 염기서열을 얻었다.

71개의 시료의 CO1 염기서열은 GenBank에 등록된 염기서열과 100% 유사도를 보였고 31개의 시료는 99.0%–99.9% 범위의 유사도를 나타냈으며 나머지 4개의 시료는 97.0% 이하의 낮은 유사도를 나타내었다(아

Table 2. Results of morphological and molecular identification for 106 samples. Bold font indicates samples with different morphological and molecular identification results. The table with the Korean names of the samples is provided as Supplementary Table S1.

| Sample No. | Phylum | Morphological Identification | CO1 DNA sequence | | Closest relative in GenBank | | |
|------------|----------|-------------------------------------|------------------|---------------|-------------------------------------|---------------|----------------|
| | | Scientific Name | Size (bps) | Accession No. | Scientific Name | Accession No. | Identities (%) |
| 1 | | <i>Decapterus maruadsi</i> | 313 | PP897035 | <i>Decapterus maruadsi</i> | MK264590 | 100 |
| 2 | | <i>Trichiurus japonicus</i> | 313 | PP897036 | <i>Trichiurus japonicus</i> | MK292708 | 100 |
| 3 | | <i>Scomber japonicus</i> | 313 | PP897039 | <i>Scomber japonicus</i> | MH638665 | 100 |
| 4 | | <i>Takifugu vermicularis</i> | 313 | PP897040 | <i>Takifugu vermicularis</i> | OQ700762 | 100 |
| 5 | | <i>Ammodytes personatus</i> | 313 | PP897046 | <i>Ammodytes personatus</i> | MK163330 | 99.4 |
| 6 | | <i>Sphyræna pinguis</i> | 313 | PP897048 | <i>Sphyræna pinguis</i> | MK560560 | 100 |
| 7 | | <i>Sphyræna pinguis</i> | 313 | PP897049 | <i>Sphyræna pinguis</i> | MK560560 | 99.7 |
| 8 | | <i>Liparis tanakae</i> | 313 | PP897050 | <i>Liparis tanakae</i> | MW829367 | 100 |
| 9 | | <i>Platycephalus indicus</i> | 313 | PP897053 | <i>Platycephalus indicus</i> | JN885883 | 99.7 |
| 10 | | <i>Saurida elongata</i> | 313 | PP897054 | <i>Saurida elongata</i> | NC_023980 | 100 |
| 11 | | <i>Collichthys niveatus</i> | 313 | PP897057 | <i>Collichthys niveatus</i> | MF004327 | 100 |
| 12 | | <i>Pampus echinogaster</i> | 313 | PP897058 | <i>Pampus echinogaster</i> | MF122597 | 100 |
| 13 | | <i>Pleuronichthys cornutus</i> | 313 | PP897059 | <i>Pleuronichthys cornutus</i> | MG835689 | 100 |
| 14 | | | 313 | PP897060 | | JQ738533 | 100 |
| 15 | | <i>Amblychaeturichthys hexanema</i> | 313 | PP897061 | <i>Amblychaeturichthys hexanema</i> | JQ738606 | 99.0 |
| 16 | | | 313 | PP897062 | | NC_020786 | 100 |
| 17 | Chordata | <i>Tridentiger trigonocephalus</i> | 313 | PP897067 | <i>Tridentiger trigonocephalus</i> | MK264461 | 100 |
| 18 | | <i>Zoarces gillii</i> | 313 | PP897068 | <i>Zoarces gillii</i> | NC_071217 | 100 |
| 19 | | | 313 | PP897071 | | MK264688 | 100 |
| 20 | | <i>Engraulis japonicus</i> | 313 | PP897072 | <i>Engraulis japonicus</i> | MK264688 | 99.4 |
| 21 | | | 313 | PP897073 | | MF628292 | 100 |
| 22 | | <i>Pseudopleuronectes yokohamae</i> | 313 | PP897074 | <i>Pseudopleuronectes yokohamae</i> | MG835681 | 99.7 |
| 23 | | <i>Uranoscopus japonicus</i> | 313 | PP897077 | <i>Uranoscopus japonicus</i> | KY372356 | 99.0 |
| 24 | | | 313 | PP897079 | | DQ116751 | 100 |
| 25 | | <i>Cynoglossus semilaevis</i> | 313 | PP897080 | <i>Cynoglossus semilaevis</i> | NC_012825 | 100 |
| 26 | | <i>Setipinna tenuifilis</i> | 313 | PP897083 | <i>Setipinna tenuifilis</i> | KU302310 | 100 |
| 27 | | <i>Sardinella zunasi</i> | 313 | PP897084 | <i>Sardinella zunasi</i> | NC_057589 | 99.7 |
| 28 | | <i>Pennahia argentata</i> | 313 | PP897086 | <i>Pennahia argentata</i> | MK264741 | 100 |
| 29 | | <i>Hemirhamphus villosus</i> | 313 | PP897089 | <i>Hemirhamphus villosus</i> | NC_046471 | 100 |
| 30 | | | 313 | PP897090 | | NC_035059 | 99.7 |
| 31 | | <i>Chelidonichthys kumu</i> | 313 | PP897091 | <i>Chelidonichthys kumu</i> | KP330564 | 100 |
| 32 | | | 313 | PP897092 | | NC_035059 | 99.7 |

Table 2. Continued

| Sample No. | Phylum | Morphological Identification | COI DNA sequence | | Closest relative in GenBank | | |
|------------|----------|----------------------------------|------------------|-----------------|------------------------------------|-----------------|----------------|
| | | Scientific Name | Size (bps) | Accession No. | Scientific Name | Accession No. | Identities (%) |
| 33 | | <i>Chaeturichthys stigmatias</i> | 313 | PP897094 | <i>Chaeturichthys stigmatias</i> | MK264445 | 100 |
| 34 | | <i>Myersina filifer</i> | 313 | PP897095 | <i>Myersina filifer</i> | MK264440 | 100 |
| 35 | | <i>Coilia mystus</i> | 313 | PP897096 | <i>Coilia mystus</i> | MH465026 | 100 |
| 36 | | | 313 | PP897099 | | KX388258 | 100 |
| 37 | | <i>Jaydia lineata</i> | 313 | PP897100 | <i>Jaydia lineata</i> | MT363638 | 100 |
| 38 | | <i>Coilia nasus</i> | 313 | PP897101 | <i>Coilia nasus</i> | ON684262 | 100 |
| 39 | | <i>Minous monodactylus</i> | 313 | PP897102 | <i>Minous monodactylus</i> | MK613995 | 99.7 |
| 40 | | <i>Trachurus japonicus</i> | 313 | PP897103 | <i>Trachurus japonicus</i> | MK777193 | 100 |
| 41 | | <i>Konosirus punctatus</i> | 313 | PP897104 | <i>Konosirus punctatus</i> | MT381808 | 100 |
| 42 | | <i>Tarphops elegans</i> | 313 | PP897107 | <i>Tarphops elegans</i> | KU199016 | 99.7 |
| 43 | | <i>Nuchequula nuchalis</i> | 313 | PP897109 | <i>Nuchequula nuchalis</i> | LC484871 | 100 |
| 44 | | <i>Hexagrammos otakii</i> | 313 | PP897115 | <i>Hexagrammos otakii</i> | AP006786 | 99.7 |
| 45 | | <i>Pagrus major</i> | 313 | PP897120 | <i>Pagrus major</i> | LC201780 | 100 |
| 46 | | | 313 | PP897121 | | KU236834 | 99.7 |
| 47 | | <i>Cynoglossus joyneri</i> | 313 | PP897122 | <i>Cynoglossus joyneri</i> | KU236834 | 99.7 |
| 48 | | | 313 | PP897123 | | MW283155 | 100 |
| 49 | | <i>Larimichthys polyactis</i> | 313 | PP897124 | <i>Larimichthys polyactis</i> | MK264728 | 100 |
| 50 | | | 313 | PP897125 | | JN250682 | 100 |
| 51 | | <i>Thryssa kammalensis</i> | 313 | PP897126 | <i>Thryssa kammalensis</i> | MK264485 | 100 |
| 52 | | <i>Sillago japonica</i> | 313 | PP897127 | <i>Sillago japonica</i> | MK264510 | 99.7 |
| 53 | | <i>Erisphex pottii</i> | 313 | PP897129 | <i>Erisphex pottii</i> | KP330544 | 100 |
| 54 | Chordata | <i>Thryssa hamiltonii</i> | 313 | PP897130 | <i>Setipinna tenuifilis</i> | JN825732 | 100 |
| 55 | | <i>Hyporhamphus sajori</i> | 313 | PP897131 | <i>Hyporhamphus sajori</i> | KP112274 | 100 |
| 56 | | | 313 | PP897132 | | HQ711863 | 100 |
| 57 | | <i>Okamejei kenojei</i> | 313 | PP897133 | <i>Okamejei kenojei</i> | HQ711863 | 99.7 |
| 58 | | <i>Collichthys lucidus</i> | 313 | PP897134 | <i>Collichthys lucidus</i> | KP722710 | 99.7 |
| 59 | | <i>Lophius litulon</i> | 313 | PP897136 | <i>Lophius litulon</i> | NC_023828 | 100 |
| 60 | | <i>Sebastes koreanus</i> | 313 | PP897137 | <i>Sebastes koreanus</i> | KY275280 | 100 |
| 61 | | <i>Takifugu niphobles</i> | 658 | PP897087 | <i>Takifugu niphobles</i> | KY275363 | 100 |
| 62 | | <i>Platycephalus indicus</i> | 658 | PP897098 | <i>Platycephalus indicus</i> | MT628403 | 100 |
| 63 | | <i>Ilisha elongata</i> | 658 | PP897110 | <i>Ilisha elongata</i> | HM030767 | 100 |
| 64 | | <i>Takifugu obscurus</i> | 658 | PP897135 | <i>Takifugu obscurus</i> | KP112457 | 100 |
| 65 | | | 658 | PP897106 | | KC748108 | 99.9 |
| 66 | | <i>Pholis fangi</i> | 658 | PP897138 | <i>Pholis fangi</i> | KC748108 | 100 |
| 67 | | <i>Takifugu poecilonotus</i> | 658 | PP897139 | <i>Takifugu poecilonotus</i> | KY514070 | 100 |
| 68 | | <i>Takifugu pseudommus</i> | 658 | PP897140 | <i>Takifugu pseudommus</i> | KY514075 | 100 |
| 69 | | <i>Paralichthys olivaceus</i> | 655 | PP897056 | <i>Paralichthys olivaceus</i> | KX254475 | 100 |
| 70 | | <i>Kareius bicoloratus</i> | 655 | PP897063 | <i>Kareius bicoloratus</i> | MH032488 | 99.9 |
| 71 | | <i>Miichthys miuy</i> | 655 | PP897076 | <i>Miichthys miuy</i> | MK560626 | 100 |
| 72 | | <i>Pseudorhombus cinnamoneus</i> | 655 | PP897085 | <i>Pseudorhombus cinnamoneus</i> | NC_022447 | 99.9 |
| 73 | | <i>Mugil cephalus</i> | 655 | PP897093 | <i>Mugil cephalus</i> | KP112324 | 100 |
| 74 | | <i>Tridentiger barbatus</i> | 655 | PP897097 | <i>Tridentiger barbatus</i> | MW388921 | 89.5 |

Table 2. Continued

| Sample No. | Phylum | Morphological Identification | COI DNA sequence | | Closest relative in GenBank | | |
|------------|------------|--|------------------|-----------------|-----------------------------------|-------------------|----------------|
| | | Scientific Name | Size (bps) | Accession No. | Scientific Name | Accession No. | Identities (%) |
| 75 | | <i>Oratosquilla oratoria</i> | 313 | PP897037 | <i>Oratosquilla oratoria</i> | MF173572 | 100 |
| 76 | | <i>Palaemon gravieri</i> | 313 | PP897042 | <i>Palaemon gravieri</i> | KU899135 | 100 |
| 77 | | <i>Matuta planipes</i> | 313 | PP897043 | <i>Matuta planipes</i> | HM180672 | 99.7 |
| 78 | | <i>Oregonia gracilis</i> | 313 | PP897045 | <i>Oregonia gracilis</i> | MN138414 | 99.0 |
| 79 | | <i>Ovalipes punctatus</i> | 313 | PP897047 | <i>Ovalipes punctatus</i> | OL876977 | 100 |
| 80 | | <i>Portunus trituberculatus</i> | 313 | PP897051 | <i>Portunus trituberculatus</i> | KP976354 | 100 |
| 81 | | <i>Trachypenaeus curvirostris</i> | 313 | PP897052 | <i>Trachypenaeus curvirostris</i> | KP176653 | 100 |
| 82 | | <i>Leptochela gracilis</i> | 313 | PP897064 | <i>Leptochela gracilis</i> | OL877200 | 89.1 |
| 83 | | <i>Romaleon gibbosulum</i> | 313 | PP897065 | <i>Romaleon gibbosulum</i> | OL877006 | 100 |
| 84 | | <i>Charybdis bimaculata</i> | 313 | PP897066 | <i>Charybdis bimaculata</i> | MG787408 | 100 |
| 85 | | | 313 | PP897069 | | OL877206 | 99.4 |
| 86 | Arthropoda | <i>Crangon hakodatei</i> | 313 | PP897070 | <i>Crangon hakodatei</i> | OL877206 | 99.4 |
| 87 | | <i>Charybdis japonica</i> | 313 | PP897075 | <i>Charybdis japonica</i> | KX060214 | 100 |
| 88 | | <i>Portunus sanguinolentus</i> | 313 | PP897105 | <i>Portunus sanguinolentus</i> | OL877200 | 100 |
| 89 | | <i>Heptacarpus rectirostris</i> | 313 | PP897108 | <i>Heptacarpus sp.</i> | OP215649 | 84.0 |
| 90 | | <i>Acetes chinensis</i> | 313 | PP897111 | <i>Acetes chinensis</i> | MK941909 | 100 |
| 91 | | | 313 | PP897112 | | ON329768 | 99.7 |
| 92 | | <i>Metapenaeus joyneri</i> | 313 | PP897113 | <i>Metapenaeus joyneri</i> | MT178643 | 99.7 |
| 93 | | | 313 | PP897114 | | MT178643 | 100 |
| 94 | | <i>Alpheus japonicus</i> | 658 | PP897044 | <i>Alpheus japonicus</i> | HQ700926 | 100 |
| 95 | | <i>Lapreutes planirostris</i> | 658 | PP897055 | <i>Latreutes anoplonyx</i> | OR120369.1 | 97.0 |
| 96 | | <i>Exopalaemon carinicauda</i> | 658 | PP897078 | <i>Exopalaemon carinicauda</i> | MT710226 | 100 |
| 97 | | <i>Metapenaepsis dalei</i> | 658 | PP897088 | <i>Metapenaepsis dalei</i> | NC_029457 | 100 |
| 98 | | <i>Volutharpa ampullacea</i> | 313 | PP897038 | <i>Volutharpa ampullacea</i> | NC_067974 | 99.7 |
| 99 | | | 313 | PP897081 | | NC_028034 | 100 |
| 100 | | <i>Loliolus japonica</i> | 313 | PP897082 | <i>Loliolus beka</i> | HQ529509 | 99.7 |
| 101 | | | 313 | PP897116 | | HQ846127 | 100 |
| 102 | Mollusca | <i>Amphioctopus fangsiao</i> | 313 | PP897117 | <i>Amphioctopus fangsiao</i> | HQ846127 | 99.7 |
| 103 | | | 313 | PP897118 | | HQ846085 | 99.4 |
| 104 | | <i>Sepia esculenta</i> | 313 | PP897119 | <i>Sepia esculenta</i> | MH542447 | 100 |
| 105 | | <i>Euprymna morsei</i> | 658 | PP897041 | <i>Euprymna morsei</i> | HQ846104 | 100 |
| 106 | | <i>Neverita didyma</i> | 658 | PP897128 | <i>Neverita didyma</i> | NC_046594 | 100 |

작망둑, 돛대기새우, 좁은빨꼬마새우, 넓적빨꼬마새우) (Table 2). 분자학적 동정 결과를 형태학적 동정 결과와 비교하였을 때 대부분의 시료에서 일치하였지만 5개의 시료(풀반지, 좁은빨꼬마새우, 넓적빨꼬마새우 그리고 반원니꼴뚜기)들은 불일치하였고 동일 속의 다른 종(풀반지→반지, 좁은빨꼬마새우→좁은빨꼬마새우속, 넓적빨꼬마새우→매끈등꼬마새우, 반원니꼴뚜기→참꼴뚜기)으로 나타났다. 이들 5개 시료 중 3종은 형태학 기반으로 동정된 종들과 90% 이하의 낮은 유사도를 나타냈고(풀반지-81.5%, 좁은빨꼬마새우-81.6%, 반원니꼴뚜기-89.1%),

넓적빨꼬마새우의 경우 데이터베이스에 염기서열이 등록되어 있지 않아 비교할 수 없었다.

형태학적 동정과 분자생물학적 동정 결과가 일치하는 시료 중 32개는 GenBank 데이터베이스의 자료와 1개에서 3개까지의 염기서열의 차이가 나타났다(Table 2). 그리고 복수의 시료가 분석된 몇몇 종에 있어서도 동일 종 내에서 1개 또는 2개의 염기서열 차이를 확인할 수 있었다(꼬치고기, 양태, 도화망둑 외 12종). 이러한 결과는 동일한 종이라 할지라도 지역별 개체군 또는 지역 내 개체 간 유전적 변이가 발생할 수 있으며 eDNA 연구를 위해

서는 해당 지역의 수산 자원에 대한 유전자 정보 확보가 필요함을 시사한다.

데이터베이스와 97.0% 이하의 DNA 유사도를 나타내는 4개의 염기서열을 번역하여 아미노산 서열을 얻은 후 형태 분석으로 동정된 종의 아미노산 서열 데이터베이스와의 유사도를 확인하였다(Table 3). 그 결과 DNA 유사도가 89.1%로 낮았던 돛대기새우는 아미노산 서열에서 100%의 유사도를 나타냈다. GenBank 데이터베이스에 등록된 염기서열이 없어 동일 속의 매킨뚜꼬마새우와 97.0%의 DNA 유사도를 보였던 넓적뿔꼬마새우는 매킨뚜꼬마새우의 아미노산 서열과 100%의 유사도를 나타냈다. DNA 유사도가 89.5%의 낮은 값을 보인 아작망둑은 아미노산 서열 비교에서는 99.1%의 높은 유사도를 나타냈다. 마찬가지로 DNA 서열에서 동일속의 DNA 서열과 84.0%의 낮은 유사도를 보였던 좁은뿔꼬마새우는 동일종의 아미노산 서열 비교에서 96.2%로 유사도가 크게 증가하였다. 데이터베이스의 비교종과 낮은 DNA 유사도를 보인 염기서열을 확인한 결과 대부분이 코돈의 3번째 염기에서 변이가 나타나거나 류신으로 번역되는 침묵 돌연변이로 나타난 것으로 확인되었다. 이러한 침묵돌연변이는 이전 호주 어류(Ward et al. 2005)와 인도 Kakinada 해안 전갱이과(Persis et al. 2009)의 COI 바코딩 연구들에서도 보고된 바 있어 일부 수산자원에서 빈번하게 발생하는 것으로 보인다. 따라서 동일 종이라 할 지라도 지역별 개체군에 따라 DNA 수준에서의 변이가 매우 클 수 있으며, 환경유전자 연구의 신뢰성을 높이기 위해서 우리나라 근해의 수산 자원에 대한 유전자 정보의 확보를 통한 데이터베이스 확충이 필수적임을 시사한다.

두 개의 시료(풀반지, 반원니꼴뚜기)에서는 형태학적 동정과 분자학적 동정의 결과가 다르게 나타났다. 형태기반으로 풀반지와 반원니꼴뚜기로 동정된 시료에서 얻은 염기서열의 경우 각각 GenBank의 반지와 참꼴뚜기의

염기서열과 100%의 유사도를 보였다(Table 2). 반면, 풀반지와 반원니꼴뚜기의 GenBank DNA 서열과는 90% 이하의 유사도로 확인되었다(풀반지-81.5%, 반원니꼴뚜기-89.1%). 형태학적 동정법은 육안으로 종의 형태적 특징을 관찰해 종을 식별하는 방법으로 특수한 장비나 실험 장소의 제약이 없어 이전 많은 연구에서 전통적 동정 방법으로 이용되어 왔다. 하지만 형태적 특징이 유사한 종들의 시각적인 구별에는 숙련된 전문가가 필요하며 성별이나 성장단계에 따른 형태 차이 그리고 시료 채집 중 발생할 수 있는 시료의 훼손의 문제가 형태 기반 동정에 어려움을 준다(Bingpeng et al. 2018; Briones-Fourzán and Hendrickx 2022). 본 연구에서 풀반지와 반원니꼴뚜기에서 나타난 두 동정법 간의 차이는 유사한 형태적 특징을 가지는 다른 종들로 오동정한 결과로 보인다. 이전 Truong et al. (2022)의 연구에서 *Glossogobius* 속의 3종에 대해 형태학적 분류와 분자적 분류 간의 불일치를 확인하였고 Gomes et al. (2015)의 연구에서는 형태적으로 동일하다고 판단한 종들을 분자학적 분석을 통하여 서로 다른 종으로 식별하였다. 좁은뿔꼬마새우의 경우 동일 종의 염기서열과는 81.6%의 낮은 유사도를 보인 반면, 동일 속의 다른 종과는 85.3%로 더 높은 유사도를 보여 형태 오동정의 가능성이 있다. 다만, GenBank 데이터베이스에 비교를 위한 좁은뿔꼬마새우의 COI 염기서열이 동일한 지역에서 얻어진 2개의 DNA 서열만 존재하여, GenBank 상 정보의 오류 가능성도 배제할 수는 없다.

한편, 25개의 시료는 BLASTn 검색 결과 복수의 종에서 가장 높은 염기서열 유사도가 나타났다(Table 4). 흰점참복 시료는 동일 속에 속하는 4종, 7개 시료는 3종, 나머지 15개 시료에서는 2종이 동일한 염기서열을 갖는 것으로 나타나, 일부 종의 경우 본 연구에서 사용한 COI 유전자의 영역을 대상으로 한 환경유전자 연구가 종 수준까지 분류가 가능하지 않음을 보였다. 이러한 어려움

Table 3. Results of the BLASTp search for samples with nucleotide sequence identity less than 97%, based on translated amino acid sequences.

| Sample No. | Morphological Identification Scientific Name | Closest relative in GenBank | | | | | | |
|------------|---|-----------------------------|---------------|----------------|----------------------|---------------------------------|---------------|----------------|
| | | Nucleotide sequences | | | Amino acid sequences | | | |
| | | Scientific Name | Accession No. | Identities (%) | Size (AAs) | Scientific Name | Accession No. | Identities (%) |
| 74 | <i>Tridentiger barbatus</i> | <i>Tridentiger barbatus</i> | MW388921 | 89.5 | 218 | <i>Tridentiger barbatus</i> | WDY39142 | 99.1 |
| 78 | <i>Leptochela gracilis</i> | <i>Leptochela gracilis</i> | OL877200 | 89.1 | 104 | <i>Leptochela gracilis</i> | WML78298 | 100 |
| 89 | <i>Heptacarpus rectirostris</i> | <i>Heptacarpus</i> sp. | OP215649 | 84.0 | 104 | <i>Heptacarpus rectirostris</i> | UYZ41307 | 96.2 |
| 95 | <i>Lapreutes planirostris</i> | <i>Latreutes anoplonyx</i> | OR120369 | 97.0 | 219 | <i>Latreutes anoplonyx</i> | YP_010926794 | 100 |

Table 4. Summary of BLASTn search results for 25 samples in which multiple species were identified with the highest identity levels. Bold font indicates the results of molecular identification. If there is no Korean name, it is written as n/a

| Sample No. | Closest relative in GenBank | | |
|------------|--|------------------|----------------|
| | Scientific Name | Accession No. | Identities (%) |
| 1 | <i>Decapterus maruadsi</i> | MK264590 | 100 |
| | <i>Decapterus macarellus</i> | JQ681500 | 100 |
| 8 | <i>Liparis tanakae</i> | MW829367 | 100 |
| | <i>Liparis agassizii</i> | HM180656 | 100 |
| | <i>Liparis chefuensis</i> | GU586125 | 100 |
| 10 | <i>Saurida elongata</i> | NC_023980 | 100 |
| | <i>Saurida microlepis</i> | NC_023980 | 100 |
| 12 | <i>Pampus echinogaster</i> | MF122597 | 100 |
| | <i>Pampus argenteus</i> | MF122597 | 100 |
| 16 | <i>Amblychaeturichthys hexanema</i> | NC_020786 | 100 |
| | <i>Chaeturichthys stigmatias</i> | NC_020786 | 100 |
| 18 | <i>Zoarces gillii</i> | NC_071217 | 100 |
| | <i>Zoarces elongatus</i> | HQ703959 | 100 |
| 26 | <i>Setipinna tenuifilis</i> | KU302310 | 100 |
| | <i>Thryssa adela</i> | HM180923 | 100 |
| 33 | <i>Chaeturichthys stigmatias</i> | MK264445 | 100 |
| | <i>Acanthogobius hasta</i> | HQ711875 | 100 |
| | <i>Rhinogobius maculafasciatus</i> | JQ343912 | 100 |
| 35 | <i>Coilia mystus</i> | MH465026 | 100 |
| | <i>Trichiurus lepturus</i> | MW388780 | 100 |
| 38 | <i>Coilia nasus</i> | ON684262 | 100 |
| | <i>Coilia macrognathos</i> | MF122134 | 100 |
| 40 | <i>Trachurus japonicus</i> | MK777193 | 100 |
| | <i>Trachurus declivis</i> | KM006748 | 100 |
| 43 | <i>Nuchequula nuchalis</i> | LC484871 | 100 |
| | <i>Leiognathus brevirostris</i> | MK264532 | 100 |
| 44 | <i>Hexagrammos otakii</i> | AP006786 | 99.7 |
| | <i>Hexagrammos octogrammus</i> | HQ711871 | 100 |
| 49 | <i>Larimichthys polyactis</i> | MK264728 | 100 |
| | <i>Collichthys niveatus</i> | NC_014263 | 100 |
| | <i>Chrysochir aureus</i> | MZ895578 | 100 |
| 54 | <i>Setipinna tenuifilis</i> | JN825732 | 100 |
| | <i>Thryssa adela</i> | HM180923 | 100 |
| 55 | <i>Hyporhamphus sajori</i> | KP112274 | 100 |
| | <i>Hyporhamphus intermedius</i> | NC_026467 | 100 |
| 56 | <i>Okamejei kenojei</i> | HQ711863 | 100 |
| | <i>Raja pulchra</i> | JN813095 | 100 |
| | <i>Okamejei boesemani</i> | HM180813 | 100 |

Table 4. Contitneud

| Sample No. | Closest relative in GenBank | | |
|------------|------------------------------|---------------|----------------|
| | Scientific Name | Accession No. | Identities (%) |
| 57 | <i>Okamejei kenojei</i> | HQ711863 | 99.7 |
| | <i>Raja pulchra</i> | JN813095 | 99.7 |
| | <i>Okamejei boesemani</i> | HM180813 | 99.7 |
| 58 | <i>Collichthys lucidus</i> | KP722710 | 99.7 |
| | <i>Larimichthys crocea</i> | EU266380 | 99.7 |
| 59 | <i>Lophius litulon</i> | NC_023828 | 100 |
| | <i>Grammistes sexlineatu</i> | NC_024108 | 100 |
| 61 | <i>Takifugu niphobles</i> | KY275363 | 100 |
| | <i>Takifugu alboplumbeus</i> | KY275363 | 100 |
| 68 | <i>Takifugu pseudommus</i> | KY514075 | 100 |
| | <i>Takifugu chinensis</i> | KY514072 | 100 |
| | <i>Takifugu rubripes</i> | NC_034005 | 100 |
| | <i>Takifugu flavidus</i> | NC_024199 | 100 |
| 77 | <i>Matuta planipes</i> | HM180672 | 99.7 |
| | <i>Matuta lunaris</i> | HM180672 | 99.7 |
| 87 | <i>Charybdis japonica</i> | KX060214 | 100 |
| | <i>Gaetice depressus</i> | KP976229 | 100 |
| | <i>Charybdis variegata</i> | EU284142 | 100 |
| 104 | <i>Sepia esculenta</i> | MH542447 | 100 |
| | <i>Sepia aculeata</i> | LC121559 | 100 |
| | <i>Sepia robsoni</i> | AF350495 | 100 |

을 극복하기 위해 식별이 어려운 종에 대한 특이적 프라이머를 사용하거나(Li et al. 2022) 다른 유전자 영역을 대상으로 하는 다중 프라이머 세트를 사용하는 방법(Kumar et al. 2022; Zhang et al. 2020)에 대한 연구가 필요할 것으로 보인다. 예로 시료의 상당수를 차지하는 어류의 경우에는 12S rRNA 유전자를 타겟으로 하는 MiFish primer 세트(Miya et al. 2015)가 환경유전자 연구에 많이 사용되고 있으며 또 다른 주요 수산자원인 두족류(Kim et al. 2019)와 갑각류(Komai et al. 2019)에 대한 특이적 프라이머도 개발되어 있어 이들 프라이머를 이용한 특정 수산자원 그룹의 환경유전자 연구도 진행하고 있다.

4. 결 론

본 연구는 87종의 106개의 생물 시료에서 COI 염기서열을 얻었다. 염기서열 분석 결과 대부분의 시료들이 GenBank에 보고된 염기서열과 100% 유사도를 보이며

형태학적 동정 결과와 일치하여, 수산 자원 연구를 위한 eDNA 연구에 COI 유전자가 유용하게 사용될 수 있음을 시사하였다. 하지만 일부 시료에서는 GenBank 데이터베이스에 등록된 염기서열과 90% 이하의 큰 유사도 차이가 나타나기도 하여, 일부 수산자원의 경우 개체군 사이에 COI 유전자의 변이가 크며 국내 환경유전자 연구를 통한 수산자원의 분포 연구의 신뢰성을 높이기 위해서는 국내 주요 수산자원의 직접 분석을 통한 DNA 염기서열의 데이터베이스 확충이 중요함을 시사한다. 또한 연구의 COI 유전자 증폭 영역에서 다수의 근연종이 동일한 염기서열을 갖는 것으로 나타났으며, 이는 환경유전자 연구에 COI 유전자를 사용하는 경우 일부 수산자원에 대해 해석 시 주의가 필요하며 이러한 종들의 경우 더 높은 해상력을 제공할 수 있는 마커의 개발이 필요함을 시사하였다.

사 사

이 논문은 해양수산과학기술진흥원(해양수산부 재원, 20210696) 및 국립수산물품질관리원 수산과학연구소(R2024-009)의 지원을 받아 수행된 연구입니다.

Supplementary Information

Supplementary data are available at Ocean and Polar Research online (https://static1.apub.kr/journalsite/sites/opr/2024-046-03/N0080460301/images/OPR2024012_Supplementary%20Material.pdf).

참고문헌

- 김종규 (2022) 우리나라에서 기후 변화에 따른 어업 생산량의 변동. *한국재난정보학회논문집* **18**(1):194-201
- Alam MJ, Kim N-K, Andriyono S, Choi H-k, Lee J-H, Kim H-W (2020) Assessment of fish biodiversity in four Korean rivers using environmental DNA metabarcoding. *Peer J* **8**:e9508
- Altschul SF, Madden TL, Schäffer AA, Zhang J, Zhang Z, Miller W, Lipman DJ (1997) Gapped BLAST and PSI-BLAST: a new generation of protein database search programs. *Nucleic Acids Res* **25**(17):3389-3402
- Baldwin CC, Mounts JH, Smith DG, Weigt LA (2009) Genetic identification and color descriptions of early life-history stages of Belizean Phaeoptyx and Astrapogon (Teleostei: Apogonidae) with comments on identification of adult Phaeoptyx. *Zootaxa* **2008**:1-22
- Bessey C, Jarman SN, Berry O, Olsen YS, Bunce M, Simpson T, Power M, McLaughlin J, Edgar GJ, Keesing J (2020) Maximizing fish detection with eDNA metabarcoding. *Environ DNA* **2**(4):493-504
- Bingpeng X, Heshan L, Zhilan Z, Chunguang W, Yanguo W, Jianjun W (2018) DNA barcoding for identification of fish species in the Taiwan Strait. *PLoS One* **13**(6):e0198109
- Briones-Fourzan P, Hendrickx ME (2022) Ecology and diversity of marine decapod crustaceans. *Diversity* **14**:614
- Chen Y, Shan X, Jin X, Johannessen A, Yang T, Dai F (2018) Changes in fish diversity and community structure in the central and southern Yellow Sea from 2003 to 2015. *J Oceanol Limnol* **36**:805-817
- Colmenares GMG, Montes AJG, Harms-Tuohy CA, Schizas NV (2023) Using eDNA sampling for species-specific fish detection in tropical oceanic samples: limitations and recommendations for future use. *Peer J* **11**:e14810
- Costello MJ, Basher Z, McLeod L, Asaad I, Claus S, Vandepitte L, Yasuhara M, Gislason H, Edwards M, Appeltans W (2017) Methods for the study of marine biodiversity. In: Walters M, Scholes RJ (ed) *The GEO handbook on biodiversity observation networks*, Springer Nature, Heidelberg, pp. 129-163
- Farrag MM, El-Naggar HA, Abou-Mahmoud MM, Alabssawy AN, Ahmed HO, Abo-Taleb HA, Kostas K (2019) Marine biodiversity patterns off Alexandria area, southeastern Mediterranean Sea, Egypt. *Environ Monit Assess* **191**:1-28
- Ficetola GF, Miaud C, Pompanon F, Taberlet P (2008) Species detection using environmental DNA from water samples. *Biology Lett* **4**(4):423-425
- Folmer O, Black M, Hoeh W, Lutz R, Vrijenhoek R (1994) DNA primers for amplification of mitochondrial cytochrome c oxidase subunit I from diverse metazoan invertebrates. *Mol Mar Biol Biotechnol* **3**:294-299
- Geller J, Meyer C, Parker M, Hawk H (2013) Redesign of PCR primers for mitochondrial cytochrome c oxidase subunit I for marine invertebrates and application in all-taxa biotic surveys. *Mol Ecol Resour* **13**(5):851-861
- Gomes LC, Pessali TC, Sales NG, Pompeu PS, Carvalho DC (2015) Integrative taxonomy detects cryptic and overlooked fish species in a neotropical river basin. *Genetica* **143**:581-588
- Jo H, Kim D-K, Park K, Kwak I-S (2019) Discrimination of spatial distribution of aquatic organisms in a coastal ecosystem using eDNA. *Appl Sci* **9**(17):3450
- Karim A, Saif R, Ali FS, Gil Z, Ali W (2018) Use of CO1 gene sequences for computing genetic diversity between *Cirrhinus mrigala* from two different habitats (Farm and River). *J Fish and Life Sci* **3**:54-57
- Kim E-B, Lee SR, Lee CI, Park H, Kim H-W (2019) Development of the cephalopod-specific universal primer set and its application for the metabarcoding analysis of planktonic cephalopods in Korean waters. *Peer J* **7**:e7140
- Kim E-B, Sagong H, Lee J-H, Kim G, Kwon D-H, Kim Y, Kim H-W (2022) Environmental DNA metabarcoding analysis of fish assemblages and phytoplankton communities in a furrowed seabed area caused by aggregate mining. *Front Mar Sci* **9**:788380
- Komai T, Gotoh RO, Sado T, Miya M (2019) Development of a new set of PCR primers for eDNA metabarcoding decapod crustaceans. *Metabarcoding Metagenom* **3**:e33835
- Kumar G, Reaume AM, Farrell E, Gaither MR (2022) Comparing eDNA metabarcoding primers for assessing fish communities in a biodiverse estuary. *PLoS One* **17**(6):e0266720

- Lee J, Jeon D (2005) Climate change and its impact on marine ecosystem. *Nat Conserv* **132**:1–8
- Li P, Li D, Hong Y, Chen M, Zhang X, Hu L, Liu C (2022) Combining DNA mini-barcoding and species-specific primers PCR technology for identification of *heosemys grandis*. *Front Ecol Evol* **10**:822871
- Miya M, Sato Y, Fukunaga T, Sado T, Poulsen J, Sato K, Minamoto T, Yamamoto S, Yamanaka H, Araki H (2015) MiFish, a set of universal PCR primers for metabarcoding environmental DNA from fishes: detection of more than 230 subtropical marine species. *R Soc Open Sci* **2**(7):150088
- Mychek-Londer JG, Balasingham KD, Heath DD (2020) Using environmental DNA metabarcoding to map invasive and native invertebrates in two Great Lakes tributaries. *Environ DNA* **2**(3):283–297
- Nakabo T (2013) Fishes of Japan with pictorial keys to the species I, II and III. Tokai University Press, Hadano, 1749 p
- Narváez-Barandica JC, Quintero-Galvis JF, Aguirre-Pabón JC, Castro LR, Betancur R, Acero Pizarro A (2023) A comparative phylogeography of three marine species with different PLD Modes reveals two genetic breaks across the Southern Caribbean Sea. *Animals* **13**(15):2528
- Persis M, Chandra Sekhar Reddy A, Rao L, Khedkar G, Ravinder K, Nasruddin K (2009) COI (cytochrome oxidase-I) sequence based studies of Carangid fishes from Kakinada coast, India. *Mol Biol Rep* **36**:1733–1740
- Rennstam Rubbmark O, Sint D, Horngacher N, Traugott M (2018) A broadly applicable COI primer pair and an efficient single-tube amplicon library preparation protocol for metabarcoding. *Ecol Evol* **8**(24):12335–12350
- Rourke ML, Fowler AM, Hughes JM, Broadhurst MK, DiBattista JD, Fielder S, Wilkes Walburn J, Furlan EM (2022) Environmental DNA (eDNA) as a tool for assessing fish biomass: a review of approaches and future considerations for resource surveys. *Environ DNA* **4**(1):9–33
- Schulte NO, Craine JM, Leopold DR, Devitt JK, Fierer N (2024) Diversity of freshwater algal assemblages across the United States as revealed by DNA metabarcoding. *Environ DNA* **6**(1):e477
- Stat M, Huggett MJ, Bernasconi R, DiBattista JD, Berry TE, Newman SJ, Harvey ES, Bunce M (2017) Ecosystem biomonitoring with eDNA: metabarcoding across the tree of life in a tropical marine environment. *Sci Rep* **7**(1):12240
- Taberlet P, Bonin A, Zinger L, Coissac E. (2018). *Environmental DNA: For biodiversity research and monitoring*. Oxford University Press, Oxford, 253 p
- Truong NT, Phan GH, Lam TT, Nguyen TH, Khang DT, Tran MT, Tran NS, Dinh QM (2022) The mismatch between morphological and molecular attribution of three *Glossogobius* species in the Mekong Delta. *BMC Zool* **7**(1):34
- Villamor A, Costantini F, Abbiati M (2014) Genetic structuring across marine biogeographic boundaries in rocky shore invertebrates. *PloS One* **9**(7):e101135
- Ward RD, Zemplak TS, Innes BH, Last PR, Hebert PD (2005) DNA barcoding Australia's fish species. *Philos Trans R Soc Lond B Biol Sci* **360**(1462):1847–1857
- Zhang S, Zhao J, Yao M (2020) A comprehensive and comparative evaluation of primers for metabarcoding eDNA from fish. *Methods Ecol Evol* **11**(12):1609–1625

국문 참고자료의 영문표기

English translation / Romanization of references originally written in Korean

Kim J.-G. (2022) Variations in catches of fisheries according to the climate change of Korea. *J Kor Soc Disaster Inform* **18**:194–201

Author's Information

Hyun Sagong

Post Master Scientist, Korea Institute of Ocean Science & Technology

Joo Myun Park

Principal Research Scientist, Korea Institute of Ocean Science & Technology

Yeonjung Lee

Principal Research Scientist, Korea Institute of Ocean Science & Technology

Wonseok Yang

OSJ Student-in-training, Korea Institute of Ocean Science & Technology

Soo Jeong Lee

Research Scientist, National Institute of Fisheries Science

Maeng Jin Kim

Research Scientist, National Institute of Fisheries Science

Dong Han Choi

Principal Research Scientist, Korea Institute of Ocean Science & Technology

Received Jul. 22, 2024

Revised Sep. 10, 2024

Accepted Sep. 10, 2024

Copyright © 2024 Ocean and Polar Research

This is an open access article distributed under the terms of the Creative Commons Attribution Non-Commercial License (<http://creativecommons.org/licenses/by-nc/3.0/>), which permits unrestricted educational and non-commercial use, provided the original work is properly cited.